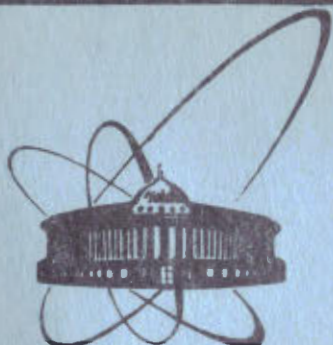


2/5/84



ОБЪЕДИНЕННЫЙ  
ИНСТИТУТ  
ЯДЕРНЫХ  
ИССЛЕДОВАНИЙ  
дубна

6-84-220

Т.А.Исламов, Н.А.Лебедев, А.Х.Холматов

ЭЛЕКТРОНЫ ВНУТРЕННЕЙ КОНВЕРСИИ  
ПРИ РАСПАДЕ  $^{134}\text{Ce}$  И УРОВНИ  $^{134}\text{La}$

Направлено в журнал  
"Известия АН СССР, серия физическая"

1984

До недавнего времени считалось, что  $^{134}\text{Ce} / T_{1/2} = 75,9 \pm 0,9$  ч/при распаде полностью переходит в основное состояние  $^{134}\text{La}$  путем электронного захвата. Первые сведения о возбужденных состояниях  $^{134}\text{La}$  были получены при распаде  $^{134}\text{Ce}$  в 1976 г. /1,2/. В /1/ наблюдались линии электронов внутренней конверсии /ЭВК/ трех  $\gamma$ -переходов, связанных с распадом  $^{134}\text{Ce}$ , в /2/ измерены спектры  $\gamma$ -лучей и  $\gamma$ - $\gamma$ -совпадений и предложена схема распада  $^{134}\text{Ce} \rightarrow ^{134}\text{La}$ . Измерения спектра  $\gamma$ -лучей и ЭВК при распаде  $^{134}\text{Ce}$  продолжены в /3/. Однако полученные в /1-3/ экспериментальные данные позволили определить спины и четности только двух из десяти известных уровней  $^{134}\text{La}$ .

В настоящей работе более детально исследован спектр ЭВК при распаде  $^{134}\text{Ce}$ , и на этой основе получены новые данные о спинах и четности уровней дочернего нечетно-нечетного ядра  $^{134}\text{La}$ .

Радионуклид  $^{134}\text{Ce}$  получался в реакции глубокого расщепления гадолиния протонами с энергией 660 МэВ на синхроциклотроне ЛЯП ОИЯИ.  $^{134}\text{Ce}$  выделялся из мишени в смеси с другими изотопами церия /4/. Радиоактивные источники изготавливали методом электролиза /5/. Подложкой служила платиновая проволока диаметром 0,1 мм. Спектры ЭВК изучали с помощью бета-спектрографа с постоянным магнитным полем /6/ при разрешении 0,03-0,07%. Для регистрации электронов использовались фотопластинки типа Р-50.

Относительные интенсивности линий ЭВК определялись с помощью автоматизированного микрофотометра /7/, связанного с ЭВМ ЕС-1010. Энергии линий ЭВК измеряли методом, описанным в /6/, с помощью координатного измерителя ИЗА-2 с использованием для расчетов ЭВМ СДС-6500. С целью получения сведений о малоинтенсивных  $\gamma$ -переходах фотопластинки со спектрами ЭВК активировали радиоактивной серой-35 и путем авторадиографии получали вторичные усиленные изображения линий ЭВК /8/.

Исследование спектров ЭВК изотопов церия в диапазоне энергий от 10 до 500 кэВ позволило обнаружить и определить относительные интенсивности линий ЭВК 27  $\gamma$ -переходов, связанных с распадом  $^{134}\text{Ce}$ . В таблице представлены определенные нами энергии  $\gamma$ -переходов и относительные интенсивности линий ЭВК, данные /2/ об относительных интенсивностях  $\gamma$ -лучей, а также наши выводы о мультипольности  $\gamma$ -переходов и о размещении этих переходов в схеме распада  $^{134}\text{Ce}$ . Для связи шкал относительных интенсивностей  $\gamma$ -лучей и ЭВК в таблице использовалось расчетное /9/ значение коэффициента внутренней конверсии на К-оболочке для перехода 130,414 кэВ типа M1 + 0,18(9)% E2:  $a_K = 0,445$ . Мультипольность

Сведения о  $\gamma$ -переходах при распаде  $^{134}\text{Ce}$ .

Таблица

$E_{\gamma}(\Delta E_{\gamma})$ , кэВ	$I_{\gamma}(\Delta I_{\gamma})$ $/2^+$	$I_e(\Delta I_e)$	$\alpha_K(\Delta \alpha_K)$ ЭКСП.	Мультипольность	$I$ полн.	$E_h$	$E_K$
I	2	3	4	5	6	7	8
22,70(10)	< 22	$L_1$ 40(9) $L_2$ 25(7) $L_3$ 30(8)		$H_{MI+I}, 54(33)\%$ $E2$	$I_{30}(30)$	54	3I
$K_2(L_a)$ $3I, 89(10)$	72300(3600)	< 50	$L_1$ 186(42) $L_2$ 96(30) $L_3$ 150(44) $L_1$ 25(6) $L_2$ 8(3) $K_90(I5)$ $L_1$ 15(4) $M_1$ 4(I)	$MI+2, 79(61)\%$ $E2$	$I_{60}(134)$	3I	0
39,08(9)	< 150			$H_{MI+I}, 95(53)\%$ $E2$	$I_{72}(17)$	93	54
54,65(6)	16,9(24)			$5,32(II3)$	$MI + E2$	$I_{130}(18)$	54
59,04(20)	0,2I(10)					$0,2I(10)$	
$6I, 30(10)^\text{H}$ $6I, 88(I4)^\text{H}$ $66,26(20)$	3,16(18) 0,12(6)	$K_6(I)$ $K_5(I)$	$> I, 58$	$H(MI, E2)$	$I_{12}(I)$ $I_{10}(I)$ $0,12(6)$	355 93 0,12(6)	294 3I

Таблица / продолжение /

I	2	3	4	5	6	7	8
68,55(16)	0,76(25)	K сложн.			$3,3(II)$	$I_{62}$	93
70,85(12)	I,2I(20)	K сложн.			$I, 2I(20)$		
90,18(6)	5,5(5)	K 10(3)	$I, 82(6I)$	$H_{E2, MI}$	$2I, 6(19)$	252	162
93,47(16)	0,93(25)				$0,93(25)$	93	0
102,998(10)	25,3(25)	K 18(3)	$0,7I(13)$	$H_{MI, E2}$	$5I, I(5I)$	355	- 252
104,53(8)	2,14(28)	K 2,5	$\leq I, I7$	$H(E2, MI)$	$5,86(77)$	$I_{36}$	3I
107,34(4)	6,I(4)	K 4,0(8)	$0,66(I4)$	$H_{MI}$	$II, 68(76)$	294	187
116,19(4)	2,68(27)	K $\leq I, 5$	$\leq 0,56$	$H(MI)$	$4,58(I0)$	252	136
130,414(15)	209(15)	K = 93	= 0,445	$MI+0, I8(9)\%$ $E2$	$III(22)$	162	3I
		$L_1$ II, 6(I6)					
		$L_2$ 0,84(I5)					
		$L_3$ < 0,2					
13I, 93(5)	I7,I(17)	K 9(2)	0,526(126)	$H_{E2, MI}$	$29,9(29)$	294	162
150,20(4)	3,76(40)	K 1,8(4)	0,478(II4)	$H_{MI, E2}$	$5,07(53)$	355	205
158,785(10)	39,I(27)	K 9(2)	0,23(5)	$H_{MI, E2}$	$5I, 0(35)$	252	93
162,306(10)	230(16)	K 58(9)	0,25(4)	$MI+36(I4)\%$ $E2$	$302,5(210)$	162	0
		$L_1$ 6,8(II)					
		$L_2$ 3,4(5)					
		$L_3$ 1,3(2)					

I	2	3	4	5	6	7	8
168,453(25)	12,2(9)	K 27(4)	0,22(4)				
187,013(12)	21,8(15)	K 3,9(8)	0,18(4)				
193,157(12)	40,4(28)	K 6,0(15)	0,148(38)				
197,891(25)	13,6(10)	K 1,2(3)	0,088(23)				
200,60(8)	I,6I(24)						
205,27(6)	4,2(5)	K ≈0,4	≈0,095				
220,56(5)	4,6(5)	K ≈0,5	≈0,108				
239,650(20)	I3,I(10)	K I,0(3)	0,076(23)				
252,54(7)	3,7(5)						
262,26(10)	3,4(5)						
265,54(7)	3,9(5)						
294,264(15)	54(4)	K ≈2,6 сложн.	≈0,048				
300,884(15)	88(7)	K 2,8(8)	0,032(9)				
323,59(5)	I5,6(16)	K ≈0,6	≈0,038				
355,54(5)	8,8(9)	K ≈0,5	≈0,057				
		K сложн.					

"<sub>Н</sub>" - новые результаты;  
"сложн." - на месте расположения линий ЭВК наблюдается несколько линий других изотопов.

"<sub>Н</sub>" - на месте расположения линий ЭВК наблюдается несколько

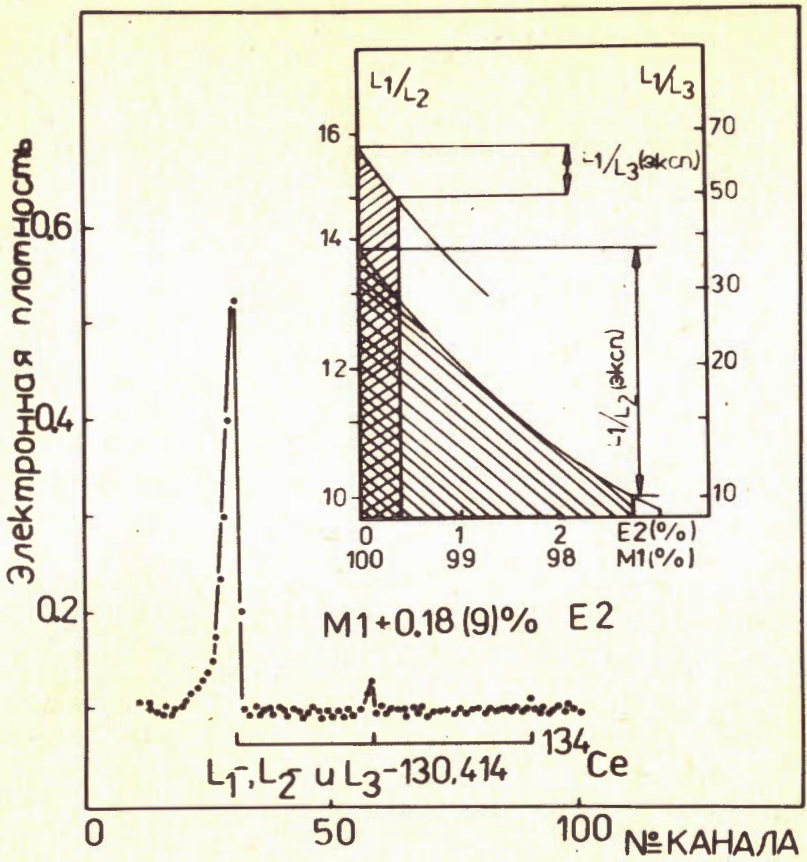


Рис.1. К определению мультипольности  $\gamma$ -перехода 130,414 кэВ  $^{134}\text{Ce}$ .

этого перехода экспериментально установлена из отношений интенсивностей  $L_1$ ,  $L_2$  - и  $L_3$ -линий ЭВК /см.рис.1/. Из сравнения экспериментальных и расчетных <sup>[9]</sup> отношений интенсивностей  $L_1$ ,  $L_2$  и  $L_3$ -линий ЭВК определен мультипольный состав  $\gamma$ -переходов: 22,70 кэВ -  $M1 + 1,5 (3)\% E2$ ; 31,89 кэВ -  $M1 + 2,8 (6)\% E2$ ; 162,306 кэВ -  $M1 + 36 (14)\% E2$ . Для перехода 39,08 кэВ мультипольность -  $M1 + 1,9 (5)\% E2$  определена из отношений интенсивностей  $L_1$ - и  $L_2$ -линий ЭВК. Выводы о мультипольности других  $\gamma$ -переходов сделаны на основании экспериментальных значений  $a_K$ . В итоге определены мультипольности для 26  $\gamma$ -переходов, из них для 23 - впервые. Отношения смешивания мультипольностей для трех ранее изученных <sup>[3]</sup> переходов /31,89; 130,414 и 162,31 кэВ/ существенно уточнены.

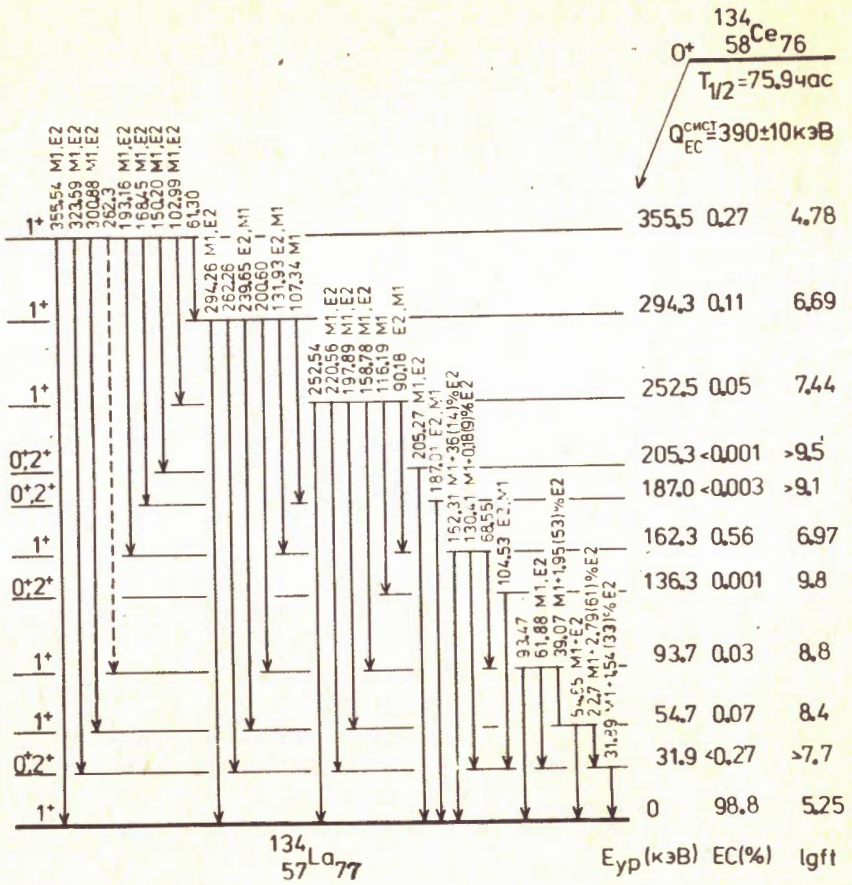


Рис.2. Схема распада  $^{134}\text{Ce} \rightarrow ^{134}\text{La}$ .

В  $^{134}\text{La}$  предположено существование  $\gamma$ -перехода с энергией 22,7 кэВ. В наших измерениях удалось наблюдать  $L_{1-}$ ,  $L_{2-}$  и  $L_{3-}$  линии ЭВК и тем самым подтвердить данный переход. На основании энергетического баланса переход с энергией 22,7 кэВ размещается между уровнями 54,7 и 31,9 кэВ.

За основу схемы возбужденных состояний  $^{134}\text{La}$  /см.рис.2/ был принят вариант, предложенный в  $^{134}\text{La}$ .

Высокая разрешающая способность бета-спектрографа  $^{134}\text{Ce}$  позволила раздельно наблюдать линии ЭВК  $\gamma$ -переходов 61,34 и 61,88 кэВ. Обнаруженный ранее неизвестный  $\gamma$ -переход 61,34 кэВ можно разместить между состояниями 355,5 и 294,3 кэВ.

На основе полученных экспериментальных данных и с учетом интенсивности характеристического  $K_{\alpha}$ -излучения рассчитаны интенсивности заселения уровней  $^{134}\text{La}$  при распаде  $^{134}\text{Ce}$  электронным

захватом. Как видно из схемы распада  $^{134}\text{Ce}$  /рис.2/, наибольшая доля 98,8% электронного захвата идет в основное состояние  $^{134}\text{La}$ . На основе значений разности масс  $^{134}\text{Ce} - ^{134}\text{La}$  / $Q_{\text{сист.}}$  =  $= 390 + 10$  кэВ из  $^{134}\text{Ce}$ /и баланса интенсивностей вычислены величины  $\lg ft$  для электронного захвата на уровне  $^{134}\text{La}$  /рис.2/.

Основное состояние  $^{134}\text{Ce}$ , как и все четно-четные ядра, имеет спин 0 и положительную четность. Заселение основного состояния  $^{134}\text{La}$  путем электронного захвата составляет 98,8%, значение  $\lg ft$  для  $\beta$ -перехода на это состояние равно 5,25. Данные показывают, что бета-переход в основное состояние  $^{134}\text{La}$  является разрешенным. Этот факт и результаты, полученные по распаду  $^{134}\text{La}$ , позволили в  $^{134}\text{La}$  присвоить основному состоянию  $^{134}\text{La}$  спин и четность  $1^+$ . Скорость бета-перехода в основное состояние  $^{134}\text{La}$  ( $\lg ft = 5,25$ ) согласуется с его интерпретацией как двухквачастичного уровня  $[p(d_{5/2}), n(d_{3/2})]_1^+$ .

Полученные сведения о мультипольностях  $\gamma$ -переходов при распаде  $^{134}\text{Ce}$  позволяют заключить, что все возбужденные уровни  $^{134}\text{La}$  имеют ту же четность, как и основное состояние, т.е. положительную. Эти же результаты позволяют ограничить выбор спинов для возбужденных состояний  $^{134}\text{La}$  значениями 1, 2 и 0; более жесткие ограничения на основе данных о мультипольности переходов сделать нельзя. Более определенные выводы можно сделать, если привлечь к рассмотрению экспериментальные данные о вероятностях  $\beta$ -переходов ( $\lg ft$ ) на уровне  $^{134}\text{La}$ . Известно, что  $\beta$ -переходы второго запрещения типа  $0^+ \rightarrow 2^+$  имеют  $\lg ft \geq 13$ . Известно также /10/, что разрешенные переходы типа  $0^+ \rightarrow 0^+$  замедлены по сравнению с другими разрешенными  $\beta$ -переходами примерно в  $10^4$  раз. Из схематики /11/ следует, что  $\beta$ -переходы типа  $0^+ \rightarrow 0^+$  с  $\Delta T = 1$  в области  $A = 130$  имеют  $\lg ft \geq 9$ . Приведенные на рис.2 величины  $\lg ft$  позволяют, таким образом, сделать вывод о том, что уровни 355,5; 294,3; 162,3; 252,5 кэВ, а также уровни 54,7 и 93,7 кэВ имеют спин 1. Величины  $\lg ft$  для уровней 31,9; 136,3; 187,0 и 205,3 кэВ допускают для них выбор значений спина 0 и 2.

Таким образом, среди возбужденных уровней  $^{134}\text{La}$ , как и в соседних нечетно-нечетных ядрах  $^{133}\text{La}$ , идентифицирован ряд состояний типа  $1^+$ . Такое аномально большое число состояний с  $1^+ = 1^+$  в  $^{134}\text{La}$  и соседних нечетно-нечетных ядрах может быть генерировано изовекторными спиновыми силами типа  $x\partial_{1/2}^{\dagger} \partial_{1/2}^{\dagger}$  с включением небольшой деформации для ядер этой области /12/.

Авторы приносят благодарность проф. К. Я. Громову за полезные обсуждения и ценные замечания, Г. А. Кононенко - за помощь при фотометрировании фотопластинок.

#### ЛИТЕРАТУРА

- Абдуразаков А.А. и др. В кн.: Тезисы докладов XXVII совещания по ядерной спектроскопии и структуре атомного ядра. "Наука", Л., 1977, с.64.

2. Greenwood R.G. et al. Nucl.Phys., 1976, A270, p.29.
3. Абдумаликов А.А. и др. ОИЯИ, Р6-81-489, Дубна, 1981.
4. Молнар Ф., Лебедев Н.А. ОИЯИ, 6-3955, Дубна, 1968.
5. Новгородов А.Ф. и др. Радиохимия, 1964, 6, с.73.
6. Абдуразаков А.А. и др. Бета-спектрографы с постоянными магнитами. "Фан", Ташкент, 1970.
7. Исламов Т.А. и др. ОИЯИ, Р10-12794, Дубна, 1979.
8. Громова И.И. и др. ОИЯИ, Р6-82-487, Дубна, 1982.
9. Hager R.S., Zeltzer E.C. Nucl.Data, 1986, A4, p.1.
10. Соловьев В.Г. Теория сложных ядер. "Наука", М., 1971, с.259.
11. Raman S., Gove N.B. Phys.Rev., 1973, C7, p.1995.
12. Саламов Д.И. В кн.: Программа и тезисы докладов XXV совещания по ядерной спектроскопии и структуре атомного ядра. "Наука", Л., 1975, с.198.

Исламов Т.А., Лебедев Н.А., Холматов А.Х.  
Электроны внутренней конверсии при распаде  $^{134}\text{Ce}$   
и уровни  $^{134}\text{La}$

6-84-220

Измерен спектр электронов внутренней конверсии /ЭВК/  $^{134}\text{Ce}$  /  $T_{1/2} = 75,9 \text{ ч}$  / с помощью бета-спектрографа с постоянным магнитным полем. Определены энергии и относительные интенсивности линий ЭВК 27  $\gamma$ -переходов, связанных с распадом  $^{134}\text{Ce}$ . Из отношений интенсивностей  $L_1$ -,  $L_2$ - и  $L_3$ -линий ЭВК определен мультипольный состав следующих  $\gamma$ -переходов: 22,7 кэВ - M1 + 1,5(3)%E2; 31,9 кэВ - M1 + 2,8(6)%E2; 39,1 кэВ - M1 + 1,9(5)%E2 и 162,3 кэВ - M1 + 36(14)%E2. Определены мультипольности для 26  $\gamma$ -переходов, из них для 23 - впервые. Полученные экспериментальные результаты позволили приписать квантовые характеристики  $1^+$  уровням  $^{134}\text{La}$  с энергиями 54,7; 93,7; 162,3; 252,5; 294,3; 355,5 кэВ и  $0^+, 2^+$  уровням 31,9; 136,3; 187,0 и 205,3 кэВ.

Работа выполнена в Лаборатории ядерных проблем ОИЯИ.

Препринт Объединенного института ядерных исследований. Дубна 1984

Перевод О.С.Виноградовой

Islamov T.A., Lebedev N.A., Kholmatov A.Kh.  
Internal Conversion Electrons at the  $^{134}\text{Ce}$  Decay  
and  $^{134}\text{La}$  Levels

6-84-220

Internal conversion electron spectrum of  $^{134}\text{Ce} / T_{1/2} = 75.9 \text{ h}$  / has been measured by means of beta-spectrograph with a constant magnetic field. Energies and relative intensities of ICE lines for 27  $\gamma$ -transitions caused by  $^{134}\text{Ce}$  decay have been determined. From the intensity ratio of  $L_1$ -,  $L_2$ - and  $L_3$ -lines of ICE the multipolarity composition of the following transitions has been determined: 22.7 keV - M1 + 1.5(3)%E2; 31.9 keV - M1 + 2.8(6)%E2; 39.1 keV - M1 + 1.9(5)%E2 and 162.3 keV - M1 + 36(14)%E2. Multipolarities for 26  $\gamma$ -transitions have been determined, 23 of them - for the first time. Experimental results obtained permit to ascribe the quantum characteristics to  $1^+$  levels of  $^{134}\text{La}$  with 54.7; 93.7; 162.3; 252.5; 294.3; 355.5 keV energies; and to  $0^+$ ,  $2^+$  levels with 31.9; 136.3; 187.0 and 205.3 keV energies.

Preprint of the Joint Institute for Nuclear Research, Dubna 1984